

## СИММЕТРИИ И ТОЧНЫЕ РЕШЕНИЯ УРАВНЕНИЙ ДИНАМИЧЕСКОЙ КОНВЕКЦИИ МОРЯ

С.В. ГОЛОВИН, М.Ю. КАЗАКОВА

**Аннотация.** Рассматривается система уравнений динамической конвекции моря, задающая движения мелкой воды с переменной плотностью под действием силы Кориолиса. Модель применяется для описания океанических и атмосферных течений средних широт.

С теоретико-групповой точки зрения интерес представляет бесконечномерная группа, допускаемая уравнениями модели, содержащая пять произвольных функций времени. Целью работы является демонстрация физического смысла преобразований симметрии, а также построение оптимальной системы подалгебр малых размерностей и новых точных решений.

**Ключевые слова:** Уравнения динамической конвекции моря, оптимальная система подалгебр, частично-инвариантное решение.

### 1. ПОСТАНОВКА ЗАДАЧИ

Рассматривается система уравнений динамической конвекции моря [1, 2], задающая движения мелкой воды с переменной плотностью под действием силы Кориолиса:

$$\begin{aligned} u_t + uu_x + vu_y + wu_z - fv &= -\rho^{-1}p_x, \\ v_t + uv_x + vv_y + wv_z + fu &= -\rho^{-1}p_y, \\ 0 &= -\rho^{-1}p_z - g, \\ \rho_t + u\rho_x + v\rho_y + w\rho_z &= 0, \\ u_x + v_y + w_z &= 0. \end{aligned} \tag{1}$$

Целью работы является исследование симметрий системы (1), а также построение некоторых новых частично-инвариантных точных решений.

Система координат выбирается как показано на рис. 1. Через N и S обозначены северный и южный полюсы,  $\theta$  — географическая широта точки на сфере. Ось  $Ox$  направлена на восток,  $Oy$  — на север, сила тяжести действует в отрицательном направлении оси  $Oz$ . Соответствующим образом определяются компоненты скорости  $(u, v, w)$ . Давление и плотность обозначаются буквами  $p$  и  $\rho$ ;  $g$  — ускорение силы тяжести.

Уравнения модели выводятся при следующих предположениях [2]:

$$H/R \ll 1, \tag{2}$$

$$(L/R)^2 \ll 1, \tag{3}$$

---

S.V. GOLOVIN, M.YU. KAZAKOVA, SYMMETRIES AND EXACT SOLUTIONS OF THE MODEL OF DYNAMIC CONVECTION OF THE SEA.

© Головин С.В., Казакова М.Ю. 2012.

Работа выполнена при поддержке Президентской программы поддержки ведущих научных школ (НШ-6706.2012.1) и молодых докторов наук (МД-168.2011.1), гранта РФФИ (11-01-0026-а) и программы ОЭММПУ РАН № 2.13.4.

Поступила 31 октября 2012 г.

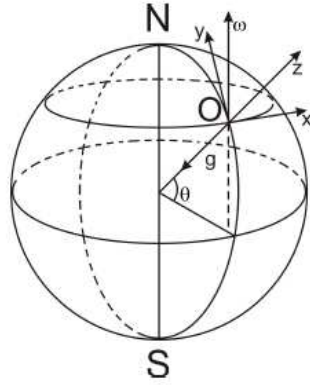


Рис. 1. Система координат

$$\operatorname{tg} \varphi_0(L/R) \ll 1, \quad (4)$$

здесь  $R$  — радиус Земли,  $L$ ,  $H$  — характерные горизонтальные и вертикальные масштабы движения,  $\varphi_0$  — широта;  $f = 2\Omega \cos \varphi_0 = 1$  — параметр Кориолиса. Приближение (2) означает, что рассматривается тонкий слой жидкости в пренебрежении радиальным искажениям при перемещении от одного значения  $z$  к другому. Это соотношение хорошо согласуется с реальными отношениями глубины океана и радиуса Земли (численные оценки приведены в [2]). Согласно приближению (3) горизонтальные масштабы движения существенно меньше радиуса Земли. Последнее приближение (4) является наиболее строгим. Оно выполняется для средних или низких широт, для которых  $\operatorname{tg} \varphi_0 \leq 1$ . Это исключает применение модели к анализу течений в высоких широтах, то есть в полярных морях.

С теоретико-групповой точки зрения интерес представляет бесконечномерная группа  $G$ , допускаемая уравнениями модели [1], порождаемая следующими инфинитезимальными операторами:

$$\begin{aligned} X_1 &= x\partial_x + y\partial_y + 2z\partial_z + u\partial_u + v\partial_v + 2w\partial_w + 2p\partial_p; \\ X_2 &= -y\partial_x + x\partial_y - v\partial_u + u\partial_v; \\ X_3 &= p\partial_p + \rho\partial_\rho; \\ \langle \tau \rangle_4 &= 2\tau\partial_t + (\tau'x + \tau y)\partial_x - (\tau x - \tau'y)\partial_y - [(\tau' + \tau''')\frac{x^2+y^2}{2} + 2\tau'z]\partial_z + \\ &\quad + (-\tau'u + \tau v + \tau''x + \tau'y)\partial_u - (\tau u + \tau'v + \tau'x - \tau''y)\partial_v - \\ &\quad - [(\tau''' + \tau')(xu + yv) + 4\tau'w + (\tau'''' + \tau'')\frac{x^2+y^2}{2} + 2\tau''z]\partial_w - 2\tau'p\partial_p; \\ \langle \alpha \rangle_5 &= \alpha\partial_x - (\alpha''x + \alpha'y)\partial_z + \alpha'\partial_u - (\alpha''u + \alpha'v + \alpha'''x + \alpha''y)\partial_w; \\ \langle \beta \rangle_6 &= \beta\partial_y + (\beta'x - \beta''y)\partial_z + \beta'\partial_v + (\beta'u - \beta''v + \beta''x - \beta'''y)\partial_w; \\ \langle \gamma \rangle_7 &= \gamma\partial_z + \gamma'\partial_w; \\ \langle \delta \rangle_8 &= \delta\partial_p. \end{aligned} \quad (5)$$

Операторы алгебры  $L$  содержат пять произвольных гладких функции времени  $\tau(t)$ ,  $\alpha(t)$ ,  $\beta(t)$ ,  $\gamma(t)$ ,  $\delta(t)$ . Штрихами обозначены производные от этих функций по  $t$ .

Конечные преобразования для операторов  $\langle \alpha \rangle_5$ ,  $\langle \beta \rangle_6$ ,  $\langle \gamma \rangle_7$  имеют вид:

$$\begin{aligned} \langle \alpha \rangle_5 : \bar{x} &= x + \alpha(t), \quad \bar{u} = u + \alpha'(t), \\ \bar{z} &= z + (\alpha''(t)x - \alpha'(t)y) + \frac{1}{2}\alpha(t)\alpha''(t), \\ \bar{w} &= w + (\alpha''(t)u - \alpha'(t)v + \alpha'''(t)x - \alpha''(t)y) + \frac{1}{2}(\alpha(t)\alpha''(t))'; \end{aligned}$$

$$\begin{aligned}
 \langle \beta \rangle_6 : \bar{y} &= y + \beta(t), \quad \bar{v} = v + \beta'(t), \\
 \bar{z} &= z + (\beta'(t)x + \beta''(t)y) + \frac{1}{2}\alpha(t)\alpha''(t), \\
 \bar{w} &= w + (\beta'(t)u + \beta''(t)v + \beta'(t)x + \beta'''(t)y) + \frac{1}{2}(\beta(t)\beta''(t))'; \\
 \langle \gamma \rangle_7 : \bar{z} &= z + \gamma(t), \quad \bar{w} = w + \gamma'(t).
 \end{aligned}$$

Указаны только нетривиальные преобразования, остальные величины преобразуются тождественно. Эти преобразования представляют собой обобщённые галилеевы переносы в направлении осей  $Ox$ ,  $Oy$ ,  $Oz$  соответственно. Применение данных преобразований к решениям, содержащим особенности (источник, сток, вихрь), позволяет получить решение с теми же особенностями, двигающимся по заданной траектории.

Непосредственное вычисление конечного преобразования, соответствующего оператору  $\langle \tau \rangle_4$ , приводит к неявной форме, неудобной для его дальнейшего применения. Для нахождения явного вида преобразование использовалась симметрия инфинитезимальных операторов алгебры  $L$  относительно преобразований допускаемой группы  $G$ . Действительно, поскольку преобразования группы  $G$  сохраняют систему уравнений (1), их действие на любой из операторов алгебры  $L$  даёт линейную комбинацию тех же операторов. Пользуясь этим соображением, а также информацией о виде допускаемого преобразования, следующим из неявного представления, можно получить искомое преобразование симметрии явно. Для удобства восприятия это преобразование записано в цилиндрических координатах  $(r, \theta, z)$ ,  $x = r \cos \theta$ ,  $y = r \sin \theta$ ;  $U$  и  $V$  — радиальная и окружная компоненты скорости в плоскости  $Oxy$ ,  $W$  — компонента скорости вдоль оси  $Oz$  (рис. 1).

$$\begin{aligned}
 \bar{t} &= \varphi(t), \\
 \bar{r} &= r \sqrt{\varphi'(t)}, \\
 \bar{\theta} &= \theta - \frac{1}{2}(\varphi(t) - t), \\
 \bar{z} &= \frac{1}{\varphi'(t)}z + \frac{-\varphi'(t)^2 + \varphi'(t)^4 - 3\varphi''(t)^2 + 2\varphi'(t)\varphi^{(3)}(t)r^2}{4\varphi'(t)^3} \frac{r^2}{2}, \\
 \bar{u} &= \frac{u_r}{\sqrt{\varphi'(t)}} + \frac{r}{2} \left( \frac{\varphi''(t)}{2\varphi'(t)^{3/2}} \right), \\
 \bar{v} &= v_\theta \frac{1}{\sqrt{\varphi'(t)}} + \frac{r}{2} \frac{1 - \varphi'(t)}{\varphi^{3/2}(t)}, \\
 \bar{w} &= \frac{1}{\varphi'(t)^2}w + \frac{1}{8(\varphi'(t))^5} (2ru_r\varphi'(t)(-\varphi'(t)^2 + \varphi'(t)^4 - 3\varphi''(t)^2) + \\
 &\quad + r^2\varphi''(t)(\varphi'(t)^2 + \varphi'(t)^4 + 9\varphi''(t)^2) + \\
 &\quad + 2r(2u_r\varphi'''(t) + r\varphi^{(IV)}(t)) - 10r^2\varphi'(t)\varphi''(t)\varphi'''(t)), \\
 \bar{p} &= \frac{p}{\varphi'(t)}.
 \end{aligned} \tag{6}$$

Здесь  $\varphi(t)$  — произвольная функция. Данное преобразование позволяет генерировать нестационарные решения из решений, описывающих стационарные течения жидкости.

## 2. ОПТИМАЛЬНАЯ СИСТЕМА ПОДАЛГЕБР

Для систематического описания инвариантных и частично инвариантных решений системы (1) необходимо построить оптимальную систему подалгебр для алгебры  $L$ . Нетривиальность данной задачи заключается в бесконечномерности алгебры  $L$ . Первым шагом

построения оптимальной системы подалгебр является вычисление группы внутренних автоморфизмов  $\text{Aut } L$  [3]. Применение стандартного алгоритма [4] даёт следующий результат:

$$A_1 : \bar{\tau} = \tau, \bar{\alpha} = e^{-t_1} \alpha, \bar{\beta} = e^{-t_1} \beta, \bar{\gamma} = e^{-2t_1} \gamma, \bar{\delta} = e^{-2t_1} \delta;$$

$$A_2 : \bar{\alpha} = \alpha \cos t_2 - \beta \sin t_2, \bar{\beta} = \alpha \sin t_2 + \beta \cos t_2, \quad \bar{\tau} = \tau, \quad \bar{\gamma} = \gamma, \bar{\delta} = \delta;$$

$$A_3 : \bar{\tau} = \tau, \quad \bar{\alpha} = \alpha, \quad \bar{\beta} = \beta, \quad \bar{\gamma} = \gamma, \quad \bar{\delta} = e^{-t_3} \delta;$$

$$A_4 : \bar{\tau} = \frac{T(t_4 + \chi(t))}{2\chi'(t)}, \text{ где } \tau(t) = \frac{T(\chi(t))}{2\chi'(t)},$$

$$\bar{\delta} = 2\chi'(t)D(t_4 + \chi(t)), \text{ где } \delta(t) = 2\chi'(t)D(\chi(t)),$$

$$\bar{\gamma} = 2\chi'(t)\Gamma(t_4 + \chi(t)), \gamma(t) = 2\chi'(t)\Gamma(\chi(t));$$

$$\bar{\alpha} = \frac{\alpha_0(t_4 + \chi(t)) \cos \frac{t}{2} - \beta_0(t_4 + \chi(t)) \sin \frac{t}{2}}{\sqrt{2\chi'(t)}}, \text{ где } \alpha(t) = \frac{\alpha_0(\chi(t)) \cos \frac{t}{2} - \beta_0(\chi(t)) \sin \frac{t}{2}}{\sqrt{2\chi'(t)}}$$

$$\bar{\alpha} = \frac{\alpha_0(t_4 + \chi(t)) \sin \frac{t}{2} + \beta_0(t_4 + \chi(t)) \cos \frac{t}{2}}{\sqrt{2\chi'(t)}}, \text{ где } \beta(t) = \frac{\alpha_0(\chi(t)) \sin \frac{t}{2} + \beta_0(\chi(t)) \cos \frac{t}{2}}{\sqrt{2\chi'(t)}}$$

$$A_5 : \bar{\tau} = \tau, \bar{\alpha} = \alpha + A_5 t_5, \bar{\beta} = \beta + B_5 t_5,$$

$$\bar{\gamma} = \gamma + \Gamma_{51} t_5 + \Gamma_{52} \frac{t_5^2}{2}, \bar{\delta} = \delta,$$

$$A_5 = [(x^1 + \tau')\sigma - 2\tau\sigma'], B_5 = (\tau - x^2)\sigma,$$

$$\Gamma_{51} = \sigma\alpha'' - \alpha\sigma'' - \sigma'\beta - \sigma\beta', \Gamma_{52} = \sigma A_5'' - \sigma'' A_5 - \sigma' B_5 - \sigma B_5';$$

$$A_6 : \bar{\tau} = \tau, \bar{\alpha} = \alpha + A_6 t_6, \bar{\beta} = \beta + B_6 t_6,$$

$$\bar{\gamma} = \gamma + \Gamma_{61} t_6 + \Gamma_{62} \frac{t_6^2}{2}, \bar{\delta} = \delta,$$

$$A_6 = (x^2 - \tau)\sigma, B_6 = [(x^1 + \tau')\sigma - 2\tau\sigma'],$$

$$\Gamma_{61} = \sigma\beta'' - \sigma''\beta + \alpha\sigma' + \sigma\alpha', \Gamma_{62} = \sigma B_6'' - \sigma'' B_6 + \sigma' A_6 + \sigma A_6';$$

$$A_7 : \bar{\tau} = \tau, \bar{\alpha} = \alpha, \bar{\beta} = \beta, \bar{\gamma} = \gamma + \Gamma_{71} t_7, \bar{\delta} = \delta,$$

$$\Gamma_{71} = 2x^1\sigma - (\tau\sigma)';$$

$$A_8 : \bar{\tau} = \tau, \bar{\alpha} = \alpha, \bar{\beta} = \beta, \bar{\gamma} = \gamma, \bar{\delta} = \delta + \Delta_{81} t_8,$$

$$\Delta_{81} = 2x^1\sigma + x^3\sigma - 2(\tau\sigma' + \sigma\tau').$$

В приведённых формулах указаны преобразованные координаты инфинитезимального оператора

$$X = aX_1 + bX_2 + cX_3 + \langle \tau \rangle_4 + \langle \alpha \rangle_5 + \langle \beta \rangle_6 + \langle \gamma \rangle_7 + \langle \delta \rangle_8 \quad (7)$$

под действием каждого из автоморфизмов. Вместо неявного представления внутреннего автоморфизма  $A_4$  удобно использовать его явную запись, получаемую действием преобразования (6) на каждый из операторов алгебры  $L$ , записанный в координатном виде (5).

Рассматриваемую алгебру  $L$  можно разложить в полупрямую сумму  $L = L_4 \dot{\oplus} L_\infty$ , где  $L_4 = \{X_1, X_2, X_3, \langle \tau \rangle_4\}$ . Будем строить оптимальную систему подалгебр с помощью двухшагового алгоритма [3]. Сначала построим оптимальную систему для подалгебры  $L_4$ , которая, в свою очередь, допускает разложение в прямую сумму конечномерной и бесконечномерной частей. Для  $L_3 = \{X_1, X_2, X_3\}$  оптимальная система строится просто, в силу абелевости подалгебры. Она состоит из одного трехмерного представителя

$\{X_1, X_2, X_3\}$ , трех двумерных  $\{aX_1 + X_2, bX_2 + X_3\}$ ,  $\{X_1, cX_2 + X_3\}$ ,  $\{X_1, X_2\}$ , трех одномерных  $\{aX_1 + bX_2 + X_3\}$ ,  $\{aX_1 + X_2\}$ ,  $\{X_1\}$  и нулевой подалгебры.

Одномерные подалгебры из  $L_4$ , имеющие ненулевую координату  $\langle \tau \rangle_4$ , действием автоморфизма  $A_4$  можно привести к виду с  $\tau = 1$ . Действительно, под действием замены (6) инфинитезимальный оператор  $\langle \tau \rangle_4$  изменится следующим образом:

$$\langle \tau \rangle_4 = \tau(t)\partial_t + \dots \rightarrow \langle \bar{\tau} \rangle_4 = \tau(t)\varphi'(t)\partial_t + \dots$$

Выбор  $\varphi = \int 1/\tau(t)dt$  приводит оператор  $\langle \tau \rangle_4$  к оператору переноса  $\partial_t$ . Таким образом, в оптимальную систему войдет одномерная подалгебра  $\{aX_1 + bX_2 + cX_3 + \langle 1 \rangle_4\}$ .

Перейдем к построению одномерных представителей оптимальной системы для алгебры  $L$ . В общем виде оператор записывается в виде (7). Вначале рассмотрим случай  $\tau \neq 0$ . Как и выше, при помощи действия автоморфизма  $A_4$  всегда можно добиться  $\tau = 1$ . Использование автоморфизмов  $A_5, A_6$  позволяет сделать  $\alpha = 0, \beta = 0$ . Автоморфизмы  $A_7, A_8$  позволяют занулить координаты  $\gamma$  и  $\delta$ . Таким образом, в оптимальную систему включается подалгебра  $\{aX_1 + bX_2 + cX_3 + \langle 1 \rangle_4\}$ .

Если же  $\tau = 0$ , в случае  $a \neq 0$ , то по-прежнему с помощью  $A_5, A_6$  делается  $\alpha = 0, \beta = 0$ . С помощью  $A_7, A_8$  зануляются координаты  $\gamma = 0, \delta = 0$ , и в оптимальную систему войдет подалгебра  $\{X_1 + bX_2 + cX_3\}$ . Если же  $a = 0$  и  $b \neq 0$ , то с помощью  $A_7$  нельзя занулить  $\gamma$ . В этом случае получается ещё один одномерный представитель  $\{bX_2 + X_3 + \langle \gamma \rangle_7\}$ .

В случае  $a = 0, b = 0$ , автоморфизм  $A_4$  позволяет сделать  $\alpha = 1, \beta = 0$ . Координата  $\gamma$  остаётся общего вида. Действуя оператором  $A_8$ , получаем  $\delta = 0$ . Тогда в оптимальную систему записывается  $\{X_3 + \langle 1 \rangle_5 + \langle \gamma \rangle_7\}$ .

Остается рассмотреть случай, когда  $c = 0$ , то есть  $X_3$  не входит в базисный оператор подалгебры. Если при этом  $a = 0$  и  $b = 0$ , то получаем подалгебру  $\{\langle 1 \rangle_5 + \langle \gamma \rangle_7 + \langle \delta \rangle_8\}$ . Если же  $a \neq 0$ , имеем уже рассмотренный случай. При  $b \neq 0$  получаем одномерную подалгебру  $\{bX_2 + \langle \gamma \rangle_7 + \langle \delta \rangle_8\}$ .

Таким образом, оптимальная система содержит следующие одномерные подалгебры:

$$\begin{aligned} &\{aX_1 + bX_2 + cX_3 + \langle 1 \rangle_4\}, \{X_1 + bX_2 + cX_3\}, \\ &\{bX_2 + X_3 + \langle \gamma \rangle_7\}, \{\langle 1 \rangle_5 + \langle \gamma \rangle_7 + \langle \delta \rangle_8\}, \\ &\{bX_2 + \langle \gamma \rangle_7 + \langle \delta \rangle_8\}, \{X_3 + \langle 1 \rangle_5 + \langle \gamma \rangle_7\}, \{aX_1 - 2aX_3 + \langle \delta \rangle_8\}. \end{aligned}$$

Аналогичным образом строится оптимальная система двумерных подалгебр. Условие подалгебры (коммутатор базисных операторов подалгебры является их линейной комбинацией) позволяет дополнительно уточнить вид произвольных функций, входящих в базисные операторы. Как и для одномерных подалгебр, наиболее сложный для дальнейшего использования оператор  $\langle \tau \rangle_4$  действием преобразования (6) всегда можно привести к оператору переноса по времени  $\langle 1 \rangle_4 = \partial_t$ . Окончательно, оптимальная система подалгебр выглядит следующим образом (функции  $\alpha_{1,2}(t), \beta_{1,2}(t), \gamma_{1,2}(t), \delta_{1,2}(t)$  произвольны, если не указано иное):

$$\begin{aligned} &\{X_1 + \langle 1 \rangle_4, X_2 + \langle C \rangle_4 + \langle C_1 e^{t/2} \cos(\frac{t}{2}) - C_2 e^{t/2} \sin(\frac{t}{2}) \rangle_5 + \\ &+ \langle C_2 e^{t/2} \cos(\frac{t}{2}) + C_1 e^{t/2} \sin(\frac{t}{2}) \rangle_6 + \langle C_3 e^{2t} \rangle_7 + \langle C_4 e^t \rangle_8\}, \end{aligned}$$

$$\begin{aligned} &\{X_1 + \langle 1 \rangle_4, cX_2 + X_3 + \langle C \rangle_4 + \langle C_1 e^{t/2} \cos(\frac{t}{2}) - C_2 e^{t/2} \sin(\frac{t}{2}) \rangle_5 + \\ &+ \langle C_2 e^{t/2} \cos(\frac{t}{2}) + C_1 e^{t/2} \sin(\frac{t}{2}) \rangle_6 + \langle C_3 e^{2t} \rangle_7 + \langle C_4 e^t \rangle_8\}, \end{aligned}$$

$$\{dX_1 + X_2 + \langle 1 \rangle_4, fX_2 + X_3 + \langle C \rangle_4 + \langle C_1 e^{\frac{d}{2}t} \rangle_5 + \langle C_2 e^{\frac{d}{2}t} \rangle_6 + \langle C_3 e^{2dt} \rangle_7 + \langle C_4 e^{dt} \rangle_8\},$$

$$\{aX_1 + bX_2 + cX_3 + \langle 1 \rangle_4, \langle C \rangle_4 + \langle \alpha_2 \rangle_5 + \langle \beta_2 \rangle_6 + \langle C_1 e^{2at} \rangle_7 + \langle C_2 e^{(2a+C)t} \rangle_8\},$$

где функции  $\alpha_2, \beta_2$  являются решением следующей системы:

$$\begin{pmatrix} \alpha_2' \\ \beta_2' \end{pmatrix} = \begin{pmatrix} -a & b+1 \\ b-1 & -a \end{pmatrix} \begin{pmatrix} \alpha_2 \\ \beta_2 \end{pmatrix},$$

$$\begin{aligned}
& \{\langle 1 \rangle_4, \langle C \rangle_4 + \langle \alpha_2 \rangle_5 + \langle \beta_2 \rangle_6 + \langle \gamma_2 \rangle_7 + \langle \delta_2 \rangle_8\}, \\
& \{X_1 + \langle C_1 \rangle_5 + \langle C_2 \rangle_6 + \langle C_3 \rangle_7 + \langle C_4 \rangle_8, X_2 + \langle 1 \rangle_4\}, \\
& \{X_1 + \langle C_1 \cos(\frac{1}{2}(c-1)t) + C_2 \sin(\frac{c-1}{2}t) \rangle_5 + \\
& + \langle C_2 \cos(\frac{c-1}{2}t) - C_1 \sin(\frac{c-1}{2}t) \rangle_6 + \langle C_3 \rangle_7 + \langle C_4 e^{t/2} \rangle_8, cX_2 + X_3 + \langle 1 \rangle_4\}, \\
& \{dX_1 + X_2 + \langle C_1 \cos(\frac{1}{2}(c-1)t) + C_2 \sin(\frac{c-1}{2}t) \rangle_5 + \\
& + \langle C_2 \cos(\frac{c-1}{2}t) - C_1 \sin(\frac{c-1}{2}t) \rangle_6 + \langle C_3 \rangle_7 + \langle C_4 e^{t/2} \rangle_8, fX_2 + X_3 + \langle 1 \rangle_4\}, \\
& \{aX_1 + bX_2 + cX_3 + \langle C_1 \cos(\frac{t}{2}) - C_2 \sin(\frac{t}{2}) \rangle_5 + \langle C_2 \cos(\frac{t}{2}) + C_1 \sin(\frac{t}{2}) \rangle_6 + \langle C_3 \rangle_7 + \langle C_4 \rangle_8, \langle 1 \rangle_4\}, \\
& \{X_1, X_2\}, \\
& \{X_1, cX_2 + X_3\}, \\
& \{dX_1 + X_2, fX_2 + X_3\}, \\
& \{bX_2 + X_3 + \langle \gamma_1 \rangle_7, \langle \gamma_2 \rangle_7\}, \\
& \{\langle 1 \rangle_5 + \langle \gamma_1 \rangle_7 + \langle \delta_1 \rangle_8, \langle \alpha_2 \rangle_5 + \langle C + \alpha'_2 \rangle_6 + \langle \gamma_2 \rangle_7 + \langle \delta_2 \rangle_8\}, \\
& \{bX_2 + \langle \gamma_1 \rangle_7 + \langle \delta_1 \rangle_8, \langle \gamma_2 \rangle_7 + \langle \delta_2 \rangle_8\}, \\
& \{X_3 + \langle 1 \rangle_5 + \langle \gamma \rangle_7, \langle \alpha_2 \rangle_5 + \langle C + \alpha'_2 \rangle_6 + \langle \gamma_2 \rangle_7\}.
\end{aligned}$$

### 3. ЧАСТИЧНО ИНВАРИАНТНОЕ РЕШЕНИЕ СИСТЕМЫ

Для удобства дальнейшего исследования запишем уравнения динамической конвекции моря в цилиндрических координатах:

$$\begin{aligned}
U_t + UU_r + r^{-1}VU_\theta + WU_z - V + \rho^{-1}p_r &= r^{-1}V^2, \\
V_t + UV_r + r^{-1}VV_\theta + WV_z + U + (r\rho)^{-1}p_\theta &= -r^{-1}UV, \\
\rho_t + U\rho_r + r^{-1}V\rho_\theta + W\rho_z &= 0, \\
U_r + r^{-1}U + r^{-1}V_\theta + W_z &= 0, \\
\rho &= -p_z.
\end{aligned} \tag{8}$$

Рассмотрим следующую пятимерную подалгебру алгебры Ли симметрии системы:

$$L_5 = \langle \partial_z, t\partial_z + \partial_W, \partial_\theta, p\partial_p + \rho\partial_\rho, \partial_p \rangle. \tag{9}$$

Базисные операторы алгебры (9) соответствуют, в порядке следования, таким операторам алгебры Ли:  $\langle 1 \rangle_7, \langle t \rangle_7, X_2, X_3, \langle 1 \rangle_8$ .

Алгебра (9) порождает частично инвариантное решение ранга 2 и дефекта 3, имеющее представление:

$$\begin{aligned}
U &= U(t, r), \quad V = V(t, r), \quad W = W(t, r, \theta, z), \\
\rho &= \rho(t, r, \theta, z), \quad p = p(t, r, \theta, z),
\end{aligned} \tag{10}$$

причем  $\rho > 0, p > 0$  в силу неотрицательности плотности и давления.

Подставим представление (10) в исходную систему, получим следующую подмодель:

$$\begin{aligned}
 U_t + UU_r - V + \rho^{-1}p_r &= r^{-1}V^2, \\
 V_t + UV_r + U + (r\rho)^{-1}p_\theta &= -r^{-1}UV, \\
 \rho_t + U\rho_r + r^{-1}V\rho_\theta + W\rho_z &= 0, \\
 U_r + r^{-1}U + W_z &= 0, \\
 \rho &= -p_z.
 \end{aligned} \tag{11}$$

Разрешим полученные уравнения относительно производных функции  $p$ :

$$\begin{aligned}
 p_r &= r^{-1}\rho(rV + V^2 - r(UU_r + U_t)), \\
 p_\theta &= -\rho(U(rV_r) + rV_t), \\
 p_z &= -\rho.
 \end{aligned} \tag{12}$$

Оставшиеся уравнения системы примут следующий вид:

$$W_z = -\frac{1}{r} \frac{\partial}{\partial r} (rU), \tag{13}$$

$$\rho_t + U\rho_r + r^{-1}V\rho_\theta + W\rho_z = 0. \tag{14}$$

Уравнение (13) определяет функцию  $W(t, r, \theta, z)$ :

$$W(t, r, \theta, z) = -\frac{z}{r} \frac{\partial}{\partial r} (rU) + W_0(t, r, \theta). \tag{15}$$

Из условий совместности уравнений (12) получим выражения для производных функции плотности:

$$\rho_r = -r^{-1}(rV + V^2 - r(UU_r + U_t)) \rho_z, \tag{16}$$

$$\rho_\theta = (U(r + V + rV_r) + rV_t) \rho_z. \tag{17}$$

Интегрирование соответствующего условия совместности системы (12) с учетом полученных представлений (16), (17) позволяет определить  $V_t$ :

$$rV_t = -rV_rU - UV - rU - h(t),$$

где  $h(t)$  — произвольная функция времени, появившаяся после интегрирования. Подстановка полученного выражения во второе уравнение системы (11) дает следующее:

$$p_\theta = h(t)\rho.$$

Обозначим  $f(t, r) = -U_t - UU_r + V + \frac{V^2}{r}$ , тогда первое уравнение системы (12) примет вид:

$$p_r = f(t, r)\rho.$$

В итоге, система (12) переписывается в следующем виде:

$$\begin{cases} p_\theta = h(t)\rho, \\ p_r = f(t, r)\rho, \\ p_z = -\rho. \end{cases} \tag{18}$$

Плотность  $\rho$  находится интегрированием уравнений (16), (17):

$$\rho(t, r, \theta, z) = R(t, \lambda), \quad \lambda = h(t)\theta - z + g(t, r), \tag{19}$$

где  $R > 0$  — некоторая произвольная функция,  $g(t, r) = \int f(t, r)dr$ . Подставляя полученное в (18), находим функцию  $p$ :

$$p = \int R(t, \lambda) d\lambda + p_0(t). \tag{20}$$

В соотношении (19) зависимость переменной  $\lambda$  от полярного угла  $\theta$  линейна, поэтому для непрерывности плотности во всем пространстве течения функция  $R$  должна быть периодической. По той же причине давление должно быть периодической функцией. Но в силу неотрицательности  $\rho$  из формулы (20) следует, что давление является строго возрастающей функцией переменной  $\lambda$ . Следовательно, непрерывности решения можно добиться только для  $h(t) = 0$ .

Подстановка представления (19) в уравнение (14) даёт следующее:

$$R_t + R_\lambda \left( g_t(t, r) + U g_r(t, r) + \frac{z}{r} \frac{\partial}{\partial r} (rU) + W_0(t, r, \theta) \right) = 0.$$

Сомножитель при  $R_\lambda$  должен зависеть только от  $\lambda$ . Этого можно добиться за счёт выбора функций  $W_0$  и  $U$ :

$$\begin{aligned} \frac{1}{r} \frac{\partial}{\partial r} (rU) &= f(t), & W_0(t, r, \theta) &= g_t(t, r) + U g_r(t, r) + \frac{g}{r} \frac{\partial}{\partial r} (rU), \\ U(t, r) &= f(t) \frac{r}{2} + \frac{a(t)}{r}, \end{aligned}$$

где  $f(t)$ ,  $a(t)$  — некоторые произвольные функции времени.

В результате имеем уравнение для функции  $R(t, \lambda)$ :

$$R_t - f(t) \lambda R_\lambda = 0. \quad (21)$$

Его решение записывается так:

$$R(t, \lambda) = R \left( \lambda \exp \left( \int f(t) dt \right) \right).$$

Теперь можем найти функцию  $V$  из второго уравнения системы (11):

$$V(t, r) = -\frac{r}{2} + \frac{C(\xi)}{r}, \quad (22)$$

где  $\xi$  — лагранжева координата, заданная следующим образом:

$$\begin{cases} \frac{dr}{dt} = U(t, r), \\ r(0) = \xi. \end{cases} \quad (23)$$

Тогда первое уравнение системы (11) определяет введенную нами функцию  $g(t, r)$ :

$$g(t, r) = -\frac{r^2}{4} \left( f'(t) + \frac{1}{2} f(t)^2 + \frac{1}{2} \right) - \frac{a(t)^2}{2r^2} - a'(t) \ln r + \int \left( \frac{C(\xi)^2}{r^3} \right) dr. \quad (24)$$

Таким образом, получаем следующее точное решение:

$$\begin{aligned} U &= \frac{r f(t)}{2} + \frac{q(t)}{2\pi r}, \\ V &= -\frac{r}{2} + \frac{\Gamma(\xi)}{2\pi r}, \\ W &= -z f(t) + W_0(t, r), \\ R &= R \left( \lambda \exp \left( \int f(t) dt \right) \right), \\ P &= \int R \left( \lambda \exp \left( \int f(t) dt \right) \right) d\lambda + p_0(t) \\ g &= -\frac{r^2}{4} \left( f'(t) + \frac{1}{2} f(t)^2 + \frac{1}{2} \right) - \frac{q(t)^2}{4\pi^2 r^2} - \frac{q'(t)}{2\pi} \ln r + \frac{1}{4\pi^2} \int \left( \frac{\Gamma(\xi)^2}{r^3} \right) dr. \end{aligned}$$

Введены обозначения

$$a(t) = \frac{q(t)}{2\pi}, \quad C(\xi) = \frac{\Gamma(\xi)}{2\pi}.$$

Для произвольных функций, входящих в решение, имеется ясная физическая трактовка. Функция  $q(t)$  задаёт расход распределённого на оси  $Oz$  источника. Функция  $f(t)$  определяет скорость радиального разлёта частиц. Функция  $\Gamma(\xi)$  позволяет задать произвольно циркуляцию вектора скорости по окружности  $r = \text{const}$  в некотором цилиндрическом слое.

Характерными для решения являются поверхности постоянства плотности  $\rho = \rho_0$ :

$$z = g(t, r) + C \exp\left(\int f(t) dt\right). \quad (25)$$

Зададим функцию  $q(t)$  в виде:

$$\begin{aligned} q(t) &= 2\pi(1 - \cos t) \text{ при } 0 \leq t \leq 2\pi, \\ q(t) &= 0 \text{ при } t > 2\pi, \quad t < 0. \end{aligned} \quad (26)$$

Оставшиеся произвольные функции положим равными нулю:  $f(t) = \Gamma(\xi) = 0$ . На рис. 2, *a* показаны образующие поверхностей постоянной плотности в данном случае. В начальный момент времени поверхности равной плотности являются параболоидами. При  $t > 0$ , когда функция  $q(t)$  принимает ненулевое значение, появляется особенность при  $r = 0$ , связанная с включением источника на оси. Поверхности равной плотности при этом отходят от оси  $r = 0$ . Когда же действие источника прекращается, поверхности вновь становятся параболоидами.

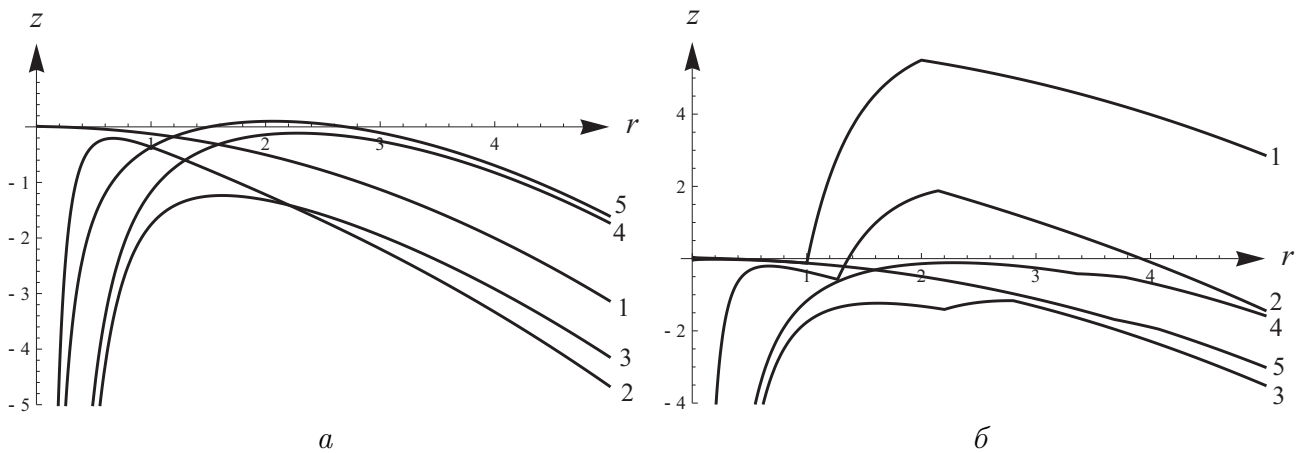


РИС. 2. Поверхности постоянной плотности (25) для равных промежутков времени  $t \in (0, 2\pi)$  пронумерованы в порядке возрастания  $t$  при *a* —  $\Gamma(\xi) = 0$ , *б* —  $\Gamma(\xi) \neq 0$

Рассмотрим случай, когда помимо источника на оси имеется конечная закрутка течения в некотором цилиндрическом слое. Для этого зададим функцию  $\Gamma(\xi)$  следующим образом:

$$\begin{aligned} \Gamma(\xi) &= 0 \text{ при } \xi < 1, \xi > 2, \\ \Gamma(\xi) &= 8\pi \text{ при } 1 \leq \xi \leq 2. \end{aligned}$$

Функцию  $q(t)$  оставим той же, что и раньше, определенной (26), а  $f(t)$  тождественно равной нулю. В этом случае получим поверхности постоянной плотности, изображенные на рис. 2, *б*. В области, в которой  $\Gamma(\xi)$  принимает ненулевое значение, происходит «выпучивание» поверхностей постоянной плотности, которое со временем сохраняется, но удаляется от оси  $Oz$ .

## 4. АВТОМОДЕЛЬНОЕ РЕШЕНИЕ

В этой части работы рассмотрим построение инвариантного решения относительно следующей четырехмерной подалгебры алгебры Ли симметрии системы:

$$L_4 = \langle \partial_z, t\partial_z + \partial_W, p\partial_p + \rho\partial_\rho, r\partial_r + 2z\partial_z + U\partial_U + V\partial_V + 2W\partial_W + p\partial_p \rangle, \quad (27)$$

где базисные операторы соответствуют следующим операторам алгебры  $\langle 1 \rangle_7$ ,  $\langle t \rangle_7$ ,  $X_3$ ,  $X_1$ .

Подалгебра (27) имеет инварианты  $t, \theta, U/r, V/r$  и порождает частично-инвариантное решение ранга 2 и дефекта 3, имеющее представление:

$$\begin{aligned} U &= ru(t, \theta), \quad V = rv(t, \theta), \quad W = w(t, r, \theta, z), \\ \rho &= \rho(t, r, \theta, z), \quad p = p(t, r, \theta, z). \end{aligned} \quad (28)$$

Попытка исследования подобного решения при  $\rho = r^a R(t, \theta)$ ,  $a = \text{const}$  была сделана в [5].

После подстановки представления решения (28) получим фактор-систему следующего вида:

$$rv(u_\theta - 1) + ru^2 - rv^2 + \frac{1}{\rho}p_r + ru_t = 0, \quad (29)$$

$$rvv_\theta + u(2rv + r) + \frac{1}{r\rho}p_\theta + rv_t = 0, \quad (30)$$

$$\rho_z w + ru\rho_r + v\rho_\theta + \rho_t = 0, \quad (31)$$

$$2u + v_\theta + w_z = 0, \quad (32)$$

$$\rho = -p_z. \quad (33)$$

Из уравнения (32) получим представление для функции  $w(t, r, \theta, z)$ :

$$w(t, r, \theta, z) = -(2u + v)z + w_0(t, r, \theta). \quad (34)$$

Уравнения (29), (30) и (33) дают явное выражение для производных функции  $p(t, r, \theta, z)$ . Вычисление смешанных вторых производных от  $p$  дает два условия совместности, являющиеся уравнениями для функции  $\rho(t, r, \theta, z)$ . Они интегрируются в виде

$$\rho(t, r, \theta, z) = R(t, \lambda), \quad \lambda = \frac{r^2}{2}f(t, \theta) - z. \quad (35)$$

Введено обозначение

$$f(t, \theta) = v(u_\theta - 1) + u^2 - v^2 + u_t. \quad (36)$$

После подстановки (35) в исходные уравнения получим уравнение для функции  $R(t, \lambda)$ :

$$R_{\lambda\lambda} \left( \frac{r^2}{2}(f_t + f(4u + v_\theta) + vf_\theta) + \lambda(-2u - v_\theta) - w_0 \right) + R_{t\lambda} = 0. \quad (37)$$

Множитель при  $R_{\lambda\lambda}$  должен зависеть только от  $t$  и  $\lambda$ , отсюда следует

$$\begin{aligned} w_0 &= \frac{r^2}{2}(f_t + f(4u + v_\theta) + vf_\theta) + \frac{h'(t)}{k(t)}, \\ u &= \frac{1}{2} \left( -v_\theta + \frac{k'(t)}{k(t)} \right). \end{aligned} \quad (38)$$

Здесь  $h(t)$ ,  $k(t)$  — произвольные функции времени.

Подстановка соотношений (38) в (37) даёт окончательное выражение для плотности. Для удобства запишем её в виде производной от некоторой функции  $P$ :

$$\rho = P'(k(t)\lambda + h(t)). \quad (39)$$

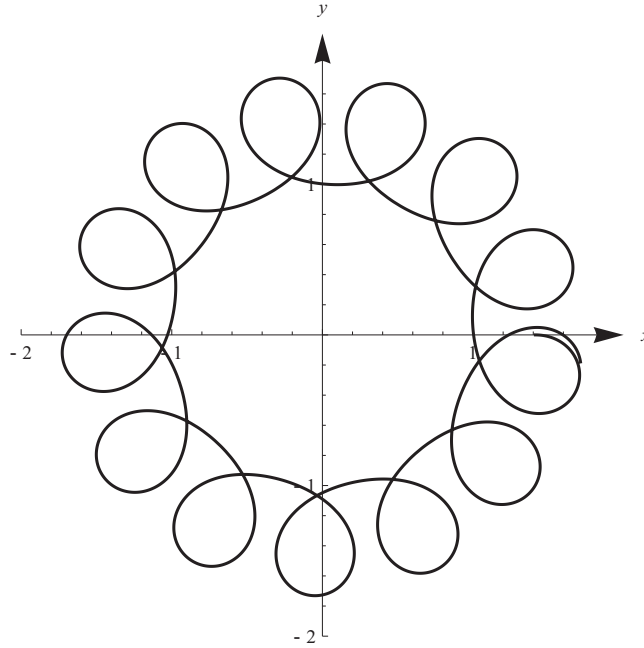


Рис. 3. Траектории автомодельного решения

Тогда давление имеет следующий вид:

$$p = \frac{1}{k(t)} P(\lambda k(t) + h(t)). \tag{40}$$

Подстановка представлений (39), (40) в исходную систему уравнений (29)–(33) приводит к следующей системе уравнений для функций  $f(t, \theta), u(t, \theta), v(t, \theta)$ :

$$\begin{cases} f_\theta = -2v_t + \left( -2u - 2v \frac{k'(t)}{k(t)} \right), \\ u_\theta = -\frac{1}{v} u_t + \left( 1 - \frac{f}{v} - \frac{u^2}{v} + v \right), \\ v_\theta = -2u + \frac{k'(t)}{k(t)}. \end{cases} \tag{41}$$

Будем искать осесимметричное решение системы (41):

$$u = u(t), v = v(t), f = f(t).$$

Получим следующее решение:

$$\begin{aligned} u &= \frac{k'(t)}{k(t)}, \quad v = \frac{A}{k(t)} - \frac{1}{2}, \\ f &= \frac{1}{4} \left( \frac{k'(t)}{k(t)} \right)^2 - \frac{k''(t)}{k(t)} - \frac{1}{4} + \left( \frac{A}{k(t)} \right)^2. \end{aligned}$$

Здесь  $k(t)$  — произвольная функция,  $A$  — произвольная константа. Построим траектории движения частиц в плоскости  $Oxy$ , для этого выберем

$$k(t) = 2 + \sin t, \quad A = 1.$$

Данное решение является периодическим во времени. На рис. 3 изображена характерная траектория частицы в течении жидкости, определённом полученным решением.

## ЗАКЛЮЧЕНИЕ

Для бесконечномерной группы, допускаемой уравнениями динамической конвекции моря, построена оптимальная система одномерных и двумерных подалгебр. В ходе исследования вычислено в явном виде конечное преобразование для оператора допускаемой группы, преобразующего время  $t$  в произвольную функцию от  $t$ . Данный вид преобразования имел ключевое значение для построения оптимальной системы.

Также получены новые точные решения уравнений динамической конвекции моря. Решения являются частично инвариантными ранга 2 и дефекта 3. Первое описывает трехмерное вихревое течение, порожденное взаимодействием распределённого на вертикальной прямой источника произвольной мощности и произвольного вращения в цилиндрическом слое, окружающем источник. Второе решение соответствует вихревому периодическому по времени осесимметричному течению вокруг начала координат. Применяя допустимые преобразования симметрии, можно генерировать эквивалентные решения, в которых вихрь движется по произвольной траектории в горизонтальной плоскости и вращается жестко с произвольной угловой скоростью. Для первого решения приводятся физические характеристики поверхностей постоянной плотности потока, для второго решения построены траектории частиц.

## СПИСОК ЛИТЕРАТУРЫ

1. Овсянников Л.В. *Уравнения динамической конвекции моря*. Препринт, ИГиЛ, СО РАН, 1967.
2. Ле Блон П., Майсек Л. *Волны в океане*. М.: Мир, 1981.
3. Овсянников Л.В. *Об оптимальных системах подалгебр* // Докл. РАН. 1993. Т. 333, № 6. С. 702–704.
4. Головин С.В., Чесноков А.А. *Групповой анализ дифференциальных уравнений: учебное пособие*. Изд-во Новосибирского государственного университета, 2008.
5. Босых Н.Ю., Чупахин А.П. *Об одном частично инвариантном решении уравнений гидродинамики атмосферы*, Вестник НГУ. Серия: Математика, механика, информатика, 2010, Т. 10, № 4, С. 26–35.

Сергей Валерьевич Головин,  
Институт гидродинамики им. М.А. Лаврентьева СО РАН,  
пр-т ак. Лаврентьева, 15,  
630090, г. Новосибирск, Россия  
E-mail: golovin@hydro.nsc.ru

Мария Юрьевна Казакова,  
Новосибирский государственный университет,  
ул. Пирогова, 2,  
630090, г. Новосибирск, Россия  
E-mail: m.u.kazakova@gmail.com